

¿ Porque estudiar
sistemas lineales
a trozos ?

(Why nonsmooth dynamics?)

Top Manga, 2009

* Pedigrí

* Didácticos

* Estructura

→ En el principio era ... Poincaré

"Sur les courbes définies par les équations différentielles" (1881, 1882, 1885, 1886)

→ Henri Léauté : "Sur les oscillations à longues périodes dans les machines actinées par des moteurs hydrauliques et sur les moyens de prévenir ces oscillations" (1885)

* Un problema de ingeniería de control,
j modelado como un sistema a trozos y
discontinuo! ; jj construye el plano de
fases y obtiene ciclos límites!!

→ Andronov y la escuela rusa:

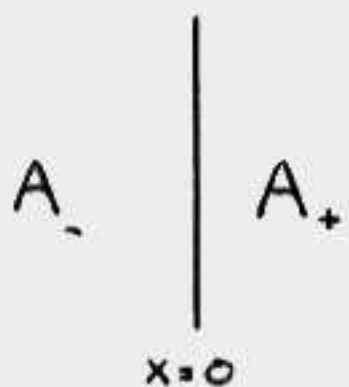
- motivados por investigación básica de circuitos de radio → oscilaciones automantenidas corresponden a ciclos límites
- "Teoría de osciladores" (1937) → libro seminal
- Andronov y Pontriaguin (1937) → estabilidad estructural

→ Levinson (1949): estudio de la dinámica del oscilador de Van der Pol forzado periódicamente, modelado mediante un sistema lineal a trozos; clarifica el extenso trabajo de M. Cartwright , J.L. Littlewood durante la II Guerra Mundial.

- * Diez años más tarde Smale publica un artículo donde conjectura que "el caos no existe"
- * En 1960 Levinson le escribe a Smale, a la sazón en Río de Janeiro, apuntándole un contraejemplo contenido en su trabajo del año 49.
- * Smale: "...trabajé dia y noche..." y "...descubrí la herradura!", "...sobre las playas de Río..." .

CASO MAS SIMPLE :

SISTEMAS PLANOS con 2 ZONAS



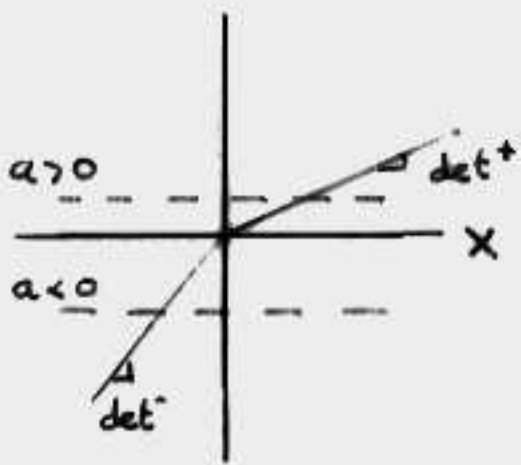
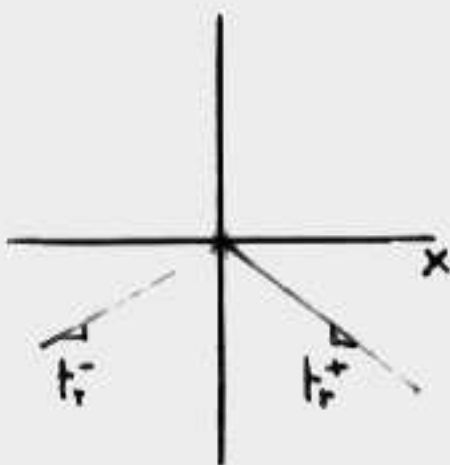
$$\begin{pmatrix} \dot{x} \\ \dot{y} \end{pmatrix} = A_{\pm} \begin{pmatrix} x \\ y \end{pmatrix} + b$$

$$A_{\pm} = \begin{pmatrix} a_{11}^{\pm} & a_{12} \\ a_{21}^{\pm} & a_{22} \end{pmatrix} \quad b \in \mathbb{R}^2$$

Busqueda de forma Canònica

$$\begin{pmatrix} x \\ y \end{pmatrix} \rightarrow \begin{pmatrix} 1 & 0 \\ \alpha & \beta \end{pmatrix} + \begin{pmatrix} 0 \\ \gamma \end{pmatrix}$$

$$\text{Si } a_{12} \neq 0 \Rightarrow \begin{aligned} \dot{x} &= t_r^+ x - y \\ \dot{y} &= \det^+ x - a \end{aligned} \quad \text{Liénard}$$



- Mediante cambio lineal único llevamos A_+, A_- a forma canónica racional $\begin{pmatrix} t_r^{-1} \\ \det 0 \end{pmatrix}$
- Relación con Teoría de Control (estructura) $a_{12} \neq 0 \Leftrightarrow$ Observabilidad

Generalización a \mathbb{R}^n : Carmona et al.
2002

Interpretación Dinámica \rightarrow
 \rightarrow existencia de sección al flujo:
 Llibre, Temel 2004

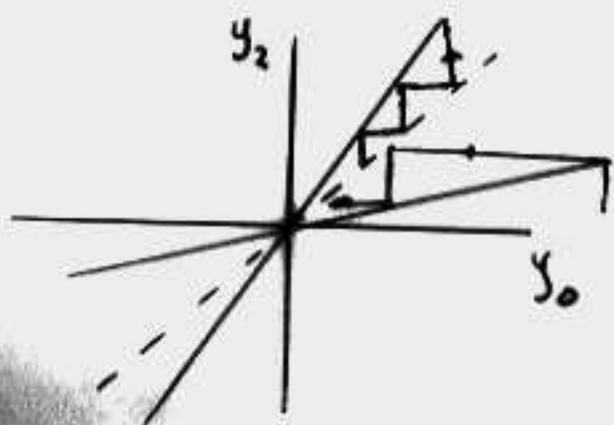
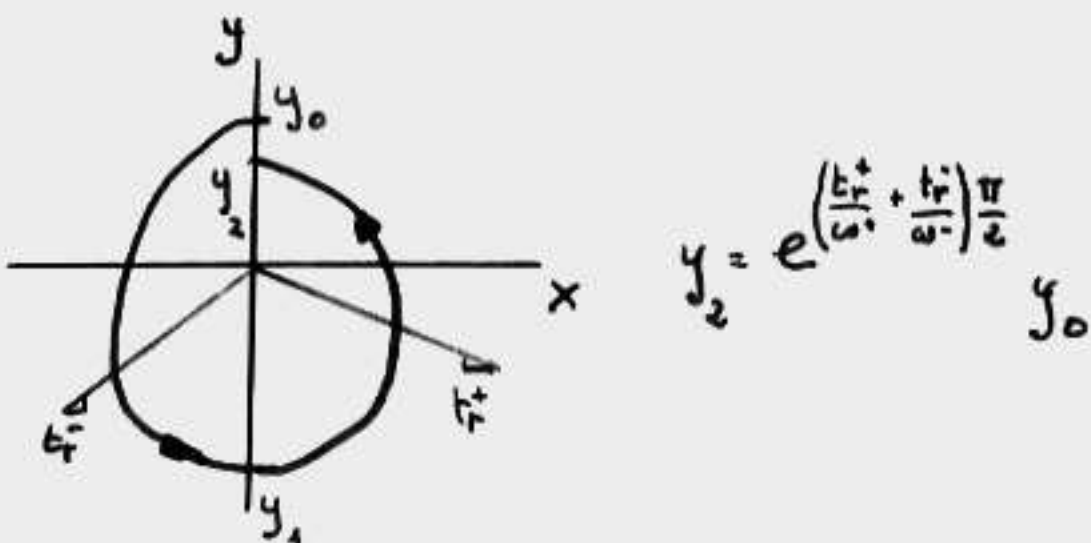
Condición necesaria de existencia

de ciclos límites $\Rightarrow t_r^+ \cdot t_r^- < 0$

Caso homogéneo : $a=0 \Rightarrow (0,0)$ equilibrio

• Foco-Foco : $t_r^{\pm} / 4 < \det^{\pm}$

$$\omega^{\pm} = \sqrt{\det^{\pm} - t_r^{\pm} / 4}$$



$$\frac{t_r^+}{\sqrt{\det^+}} + \frac{t_r^-}{\sqrt{\det^-}} = \rho$$

$\rho < 0$ CONTRACCION
GLOBAL

$\rho = 0$ CENTRO

$\rho > 0$ EXPANSION
GLOBAL

A la Búsqueda de Ciclo límite :

$$a < 0 ; \quad t_r^+ \leq 0 \quad ; \quad \frac{t_r^+}{4} < \det^+ ; \quad p < 0$$



$$\left(\frac{\det^-}{a}, \frac{t_r^- \cdot \det^-}{a} \right)$$

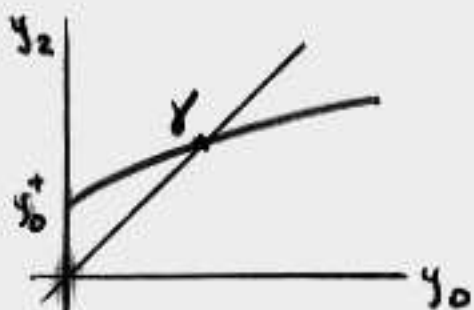
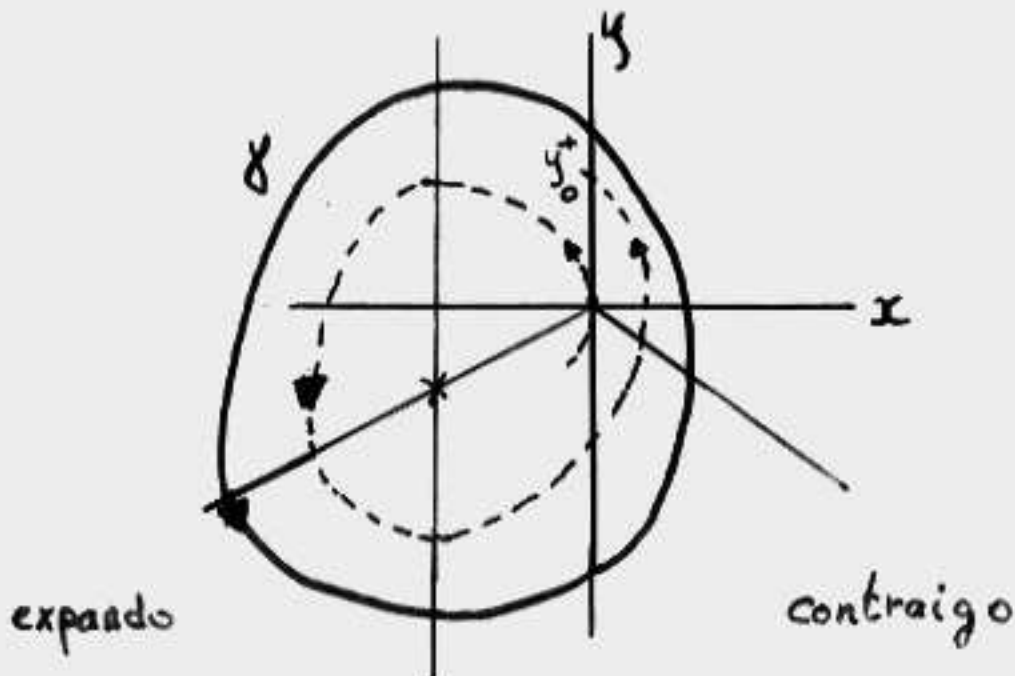
equilibrio foco
inestable



Foco-Foco



Contracción
global

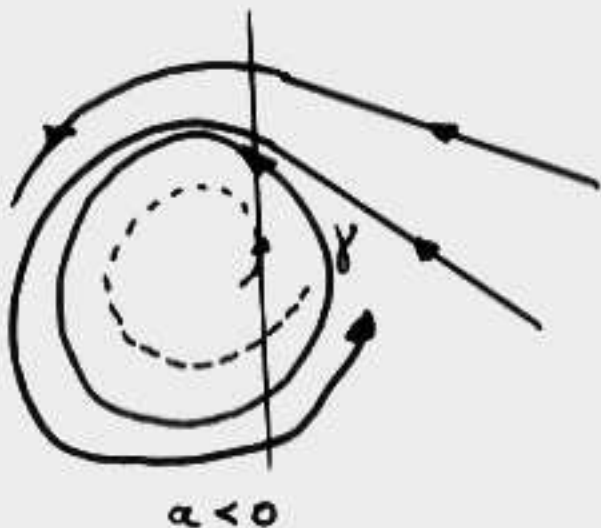
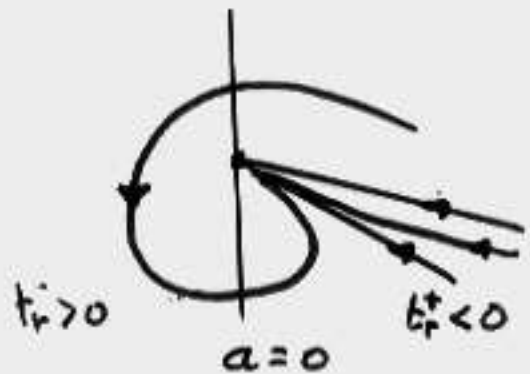


$\exists y$ ciclo límite estable

* La prueba se remonta a los años 20 (Andronov)

Otras configuraciones:

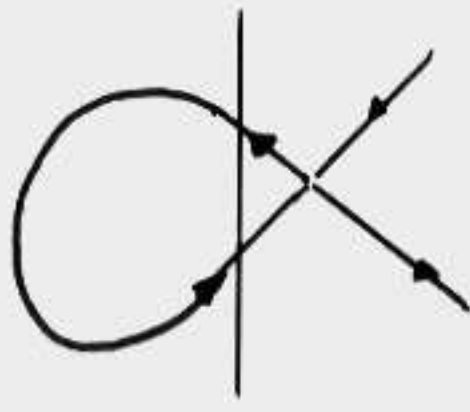
- Foco - Nodo



- Foco - Silla



? cuspide?



? orbita homoclina?

PLANOS DE FASES y

CONJUNTOS DE BIFURCACIONES en

2 ZONAS → estudio completo en

Freire et al. (1998) ; en particular se prueba
la existencia de a lo más un ciclo límite

PLANOS DE FASES y CONJUNTOS

de BIFURCACIONES en 3 ZONAS + SIMETRIA

Llibre y Sotomayor (1996) → sistema de control
planar

Freire et al. (2002)

Bifurcación tipo Hopf I



$\alpha > 0$ Foco estable ;
(lineal)



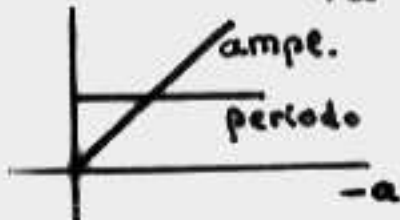
$\alpha > 0$ Foco estable ;
(no lineal)



$\alpha < 0$ Foco
inestable + ciclo
límite

$$t_r^- > 0; t_r^+ < 0; \text{ Foco-Foco} ; \frac{t_r^+}{\sqrt{d_+}} + \frac{t_r^-}{\sqrt{d_-}} < 0$$

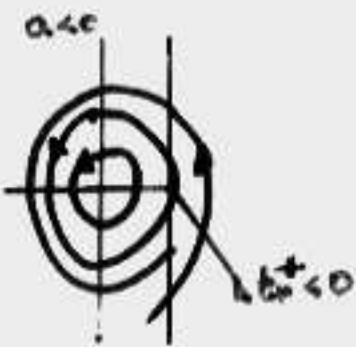
Supercritica



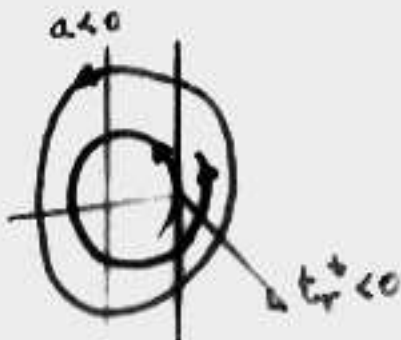
Bifurcación tipo Hopf II (foco-centro-ciclo límite)



$\alpha < 0$
 $t_r^+ < 0$



$\alpha > 0$
 $t_r^+ < 0$



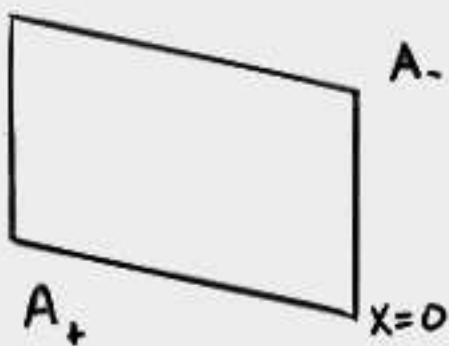
$\alpha > 0$
 $t_r^+ < 0$

$t_r^- < 0$ Foco estable ; $t_r^- = 0$ Centro
(atractivo) ; $t_r^- > 0$ Foco inestable +
ciclo límite

Amplitud, periodo, multiplicador \rightarrow funciones analíticas
de $(t_r^-)^{1/3}$

$$(t_r^-)^{1/3}$$

Sistemas lineales a trozos y continuos
en \mathbb{R}^3



$$\begin{pmatrix} \dot{x} \\ \dot{y} \\ \dot{z} \end{pmatrix} : A_{\pm} \begin{pmatrix} x \\ y \\ z \end{pmatrix} + b \quad b \in \mathbb{R}^3$$

$$A_{\pm} = \begin{pmatrix} \pm & a_{11} & a_{12} & a_{13} \\ \pm & a_{21} & a_{22} & a_{23} \\ \pm & a_{31} & a_{32} & a_{33} \end{pmatrix}$$

En condiciones de observabilidad \rightarrow

$$\dot{x} = t^{\pm} x - y$$

$$\dot{y} = m^{\pm} x - z$$

$$\dot{z} = d^{\pm} x - a$$

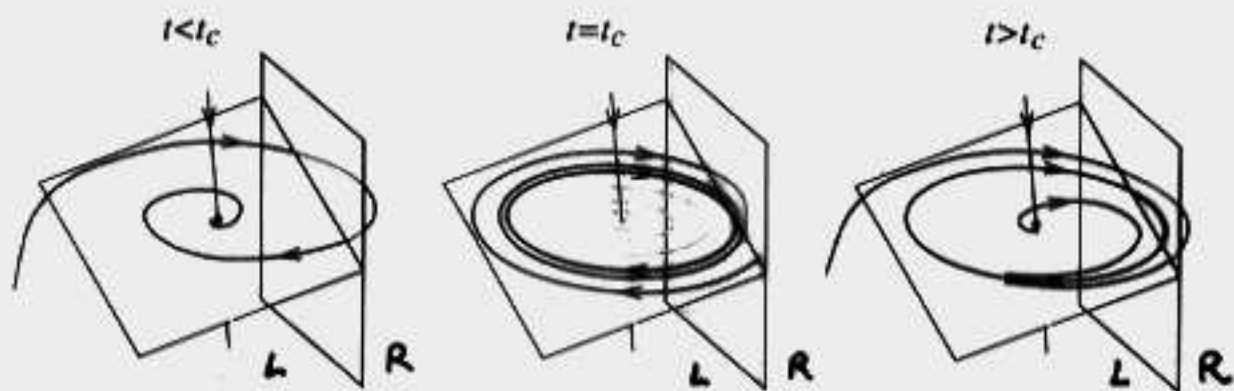
Forma de Liénard
generalizada.

Caso homogéneo : $a=0 \rightarrow$ equilibrio $(0,0,0)$

- tipo topológico ; estabilidad

Charla de V. CARMONA

Bifurcación foco-centro-ciclo límite en sistemas 3D lineales a trozos con dos zonas



$$a = 2 + \frac{(12\pi)^{2/3} m^{4/3}}{4\delta^{2/3}} (t - t_c)^{2/3} + \frac{\pi m^{1/2} \xi}{2\delta(d^2 + m^3) \tanh(\pi d/2m^{3/2})} (t - t_c) + O(t - t_c)^{4/3},$$

$$P_{er} = \frac{2\pi}{\sqrt{m}} + \frac{\pi(m - M)\sqrt{m}}{\delta} (t - t_c) + \frac{12^{2/3}\pi^{5/3}m^{5/6}}{10\delta^{8/3}} (d - mT) [(D - mT)^2 + m(m - M)^2] (t - t_c)^{5/3} + O(t - t_c)^2,$$

$$\mu_r = -\frac{(12\pi)^{1/3} m^{7/6} \delta^{2/3}}{d^2 + m^3} (t - t_c)^{1/3} + \frac{m^{1/3} \xi \delta^{1/3}}{2(d^2 + m^3)^2 \tanh(\pi d/m^{3/2})} (t - t_c)^{2/3} + O(t - t_c),$$

$$\mu_a = \frac{2\pi d}{m^{3/2}} + \frac{(12\pi)^{1/3} \xi}{m^{5/6} (d^2 + m^3) \delta^{1/3}} (t - t_c)^{1/3} - \frac{m^{1/3} \xi \delta^{1/3}}{2(d^2 + m^3)^2 \tanh(\pi d/m^{3/2})} (t - t_c)^{2/3} + O(t - t_c),$$

donde $\xi = d^2(mT - d) + m^2(Dm - dM)$; $m > 0$, $d \neq 0$, $t_c = \frac{d}{m}$, $\delta \neq 0$.

$$A_L = \begin{pmatrix} t - 1 & 0 \\ m & 0 - 1 \\ d & 0 & 0 \end{pmatrix} ; A_R = \begin{pmatrix} T - 1 & 0 \\ M & 0 - 1 \\ D & 0 & 0 \end{pmatrix}$$

$$\boxed{\delta = d(m - M) + m(D - mT)}$$

Un caso donde se muestra
como la "estructura" puede
ayudarnos a encontrar
dinámicas interesantes.

Noción de controlabilidad en control

No controlabilidad $\Leftrightarrow A_+, A_-$ comparten
autovalores

Proposición (Carmona et al. 2004) :

• si A_+, A_- comparten el par de
autovalores $\pm \beta i$, $\beta > 0$, entonces,
mediante cambios lineales y esca-
leados de parámetros y tiempo,
podemos escribir:

$$\dot{x} = t^+ x - y - 1$$

OSCILADOR ARMÓNICO

$$\dot{y} = -z$$

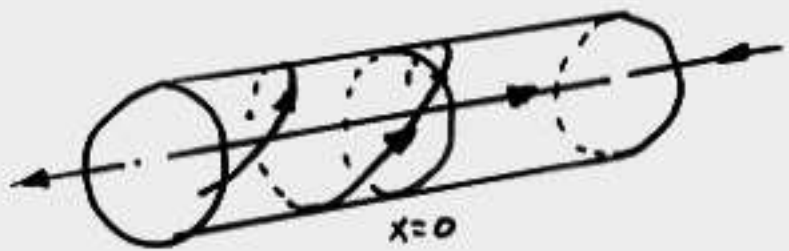
ACOPLADO A UNA

$$\dot{z} = y$$

EC. DIF. NO LINEAL

Suponemos $t^+ > 0$, $t^- < 0 \Rightarrow$

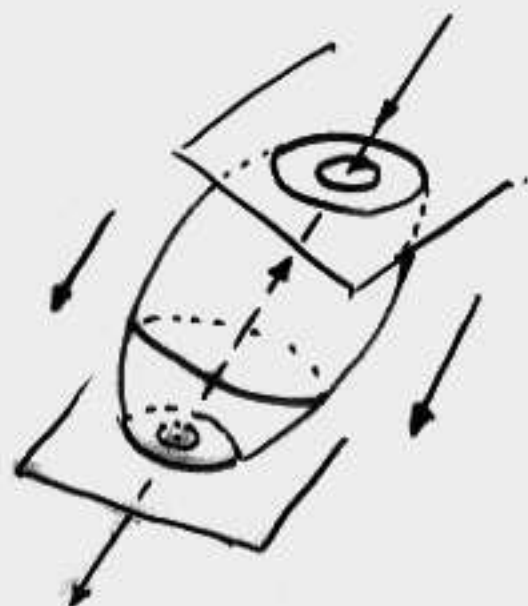
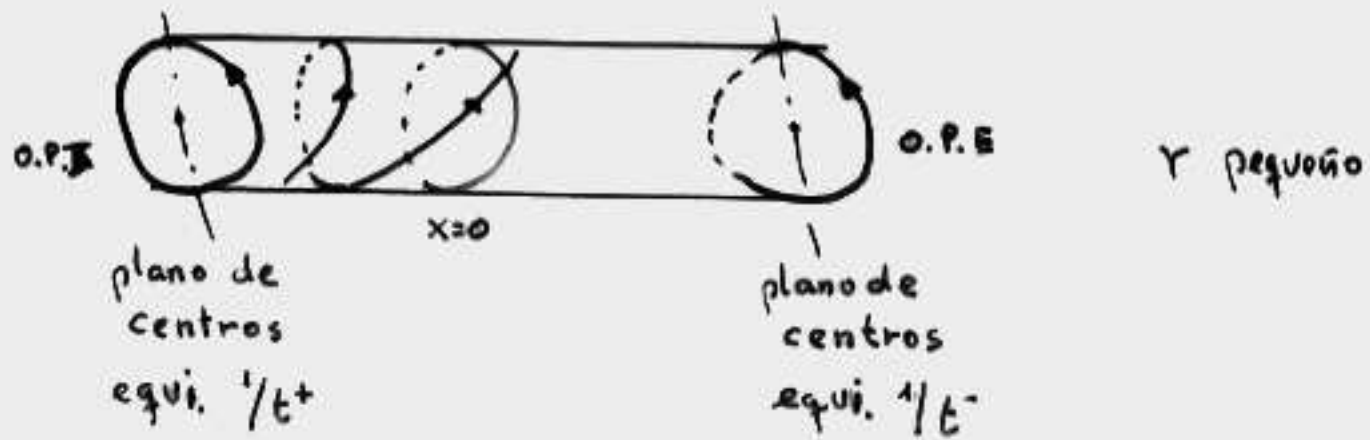
- equilibrios : $(\frac{1}{t^+}, 0, 0)$, $(\frac{1}{t^-}, 0, 0)$
- cilindros invariantes : $y^2 + z^2 = r^2$
- eje Ox recta invariante
- conexión heteroclina : segmento $(\frac{1}{t^-}, \frac{1}{t^+})$



* La dinámica sobre un cilindro invariante viene determinada por:

$$\frac{dx}{d\theta} = t^\pm x - 1 - r \cos \theta$$

ec. dif. 2π -periodica unidimensional



variedad invariant
foliada por O.P
2)

sfera topologica

... Recuerda a un despliegue de
la singularidad Hopf-cero ...

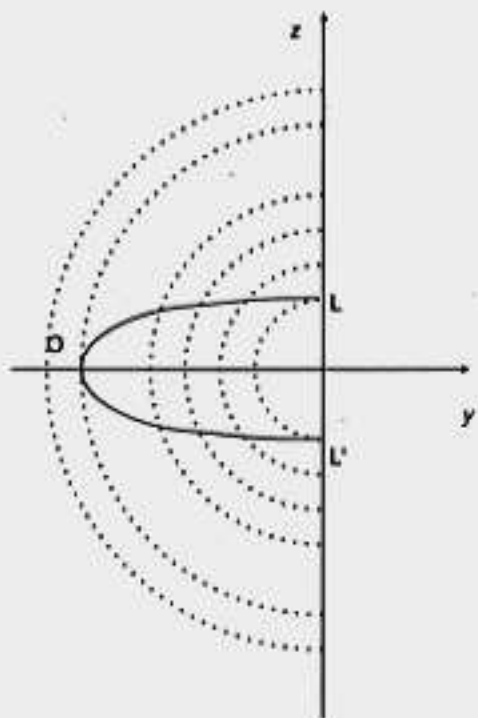
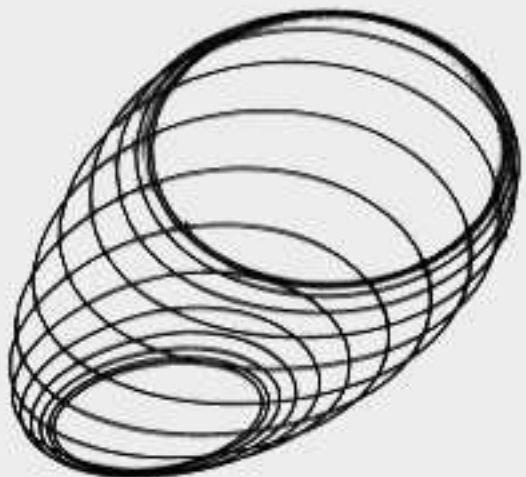
A efectos de simulación numérica
consideremos la siguiente perturbación:

$$\dot{x} = (t^+ - \epsilon_1) x - y - 1$$

$$\dot{y} = \epsilon_2 x + \epsilon_1 y - z \quad \text{con } t^+ = -t^- > 0$$

$$\dot{z} = \epsilon_1 x + y$$

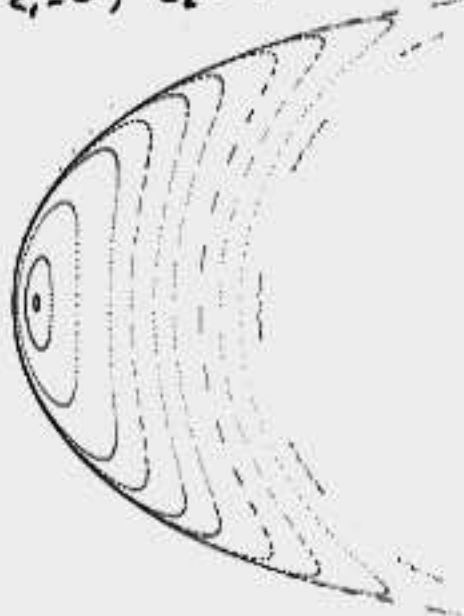
Notar que cuando $\epsilon_1 = 0$ el sistema es
reversible a: $x \rightarrow -x, y \rightarrow y, z \rightarrow -z, \bar{z} \rightarrow -\bar{z}$



Sección $x=0$ para $t^+ - t^- = 0.2$

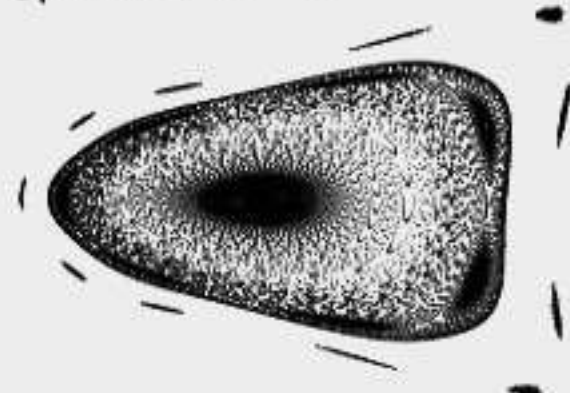
$E_1 = E_2 = 0 \rightarrow$ no controlable y reversible

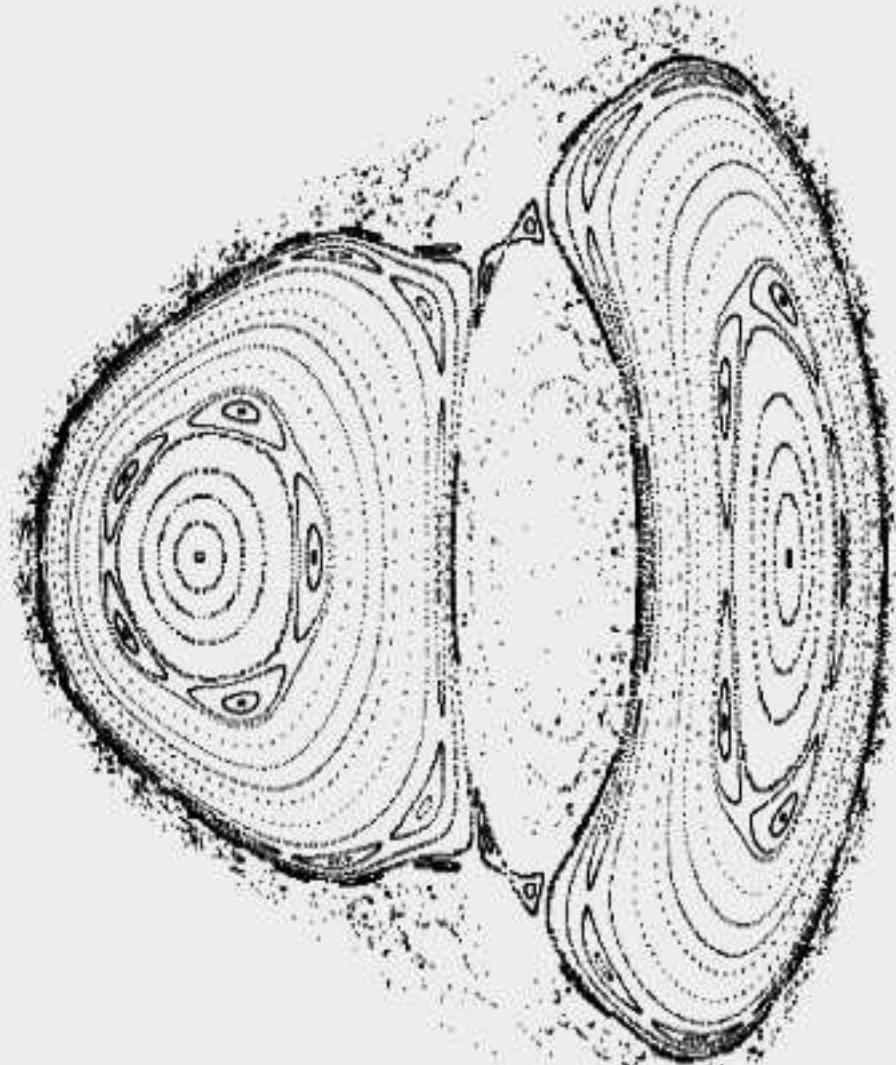
Sección $x=0$ para $\epsilon^+ = -\epsilon^- = 0.2$
 $\epsilon_1 = 0, \epsilon_2 = -0.05$



reversible
y
controlable

Sección $x=0$ para $\epsilon^+ = -\epsilon^- = 0.2$
 $\epsilon_1 = -0.02, \epsilon_2 = -0.05$





$$\dot{x} = -y$$

$$\dot{y} = x - z$$

$$\dot{z} = d^+ x - 1$$

Kunamoto

$$d^+ = -d^- = 0.3$$